

## Messen mit Dehnungsmessstreifen

### Formelsammlung für die elementaren Lastfälle

Stand: 21.01.2018, Kab.

#### Biegung

Berechnung des Biegemomentes aus der gemessenen Dehnung bzw aus der gemessenen Brückenverstimmung

Die maximale Spannung  $\sigma_b$  auf der Randfaser ergibt sich aus dem Biegemoment  $M_b$  und dem Widerstandsmoment  $W_b$  gegen Biegung:

$$\sigma_b = \frac{M_b}{W_b} \quad (\text{Gl. 1})$$

Für rechteckige Querschnitte mit der Balkenbreite  $b$  und der Balkenhöhe  $h$  gilt:

$$W_b = \frac{b h^2}{6} \quad (\text{Gl. 2})$$

Mit dem Hooke'schen Gesetz :

$$\sigma = E \cdot \epsilon \quad (\text{Gl. 3})$$

und Gleichung 1) und 2) berechnet sich für das Moment aus der gemessenen Dehnung auf der Oberfläche eines Biegebalkens mit rechteckigem Querschnitt:

$$M_b = \epsilon \cdot E \cdot \frac{b h^2}{6} \quad (\text{Gl. 4})$$

Mit der linearisierten Brückengleichung

$$\frac{\Delta U_d}{U_s} = \frac{1}{4} \cdot \left( \frac{\Delta R_1}{R_1} - \frac{\Delta R_2}{R_2} + \frac{\Delta R_3}{R_3} - \frac{\Delta R_4}{R_4} \right) \quad (\text{Gl. 5})$$

und dem Zusammenhang zwischen Dehnung und Widerstandsänderung für den Dehnungsmessstreifen

$$\frac{\Delta R}{R} = k \cdot \epsilon \quad (\text{Gl. 6})$$

gilt für eine Vollbrücke mit  $\epsilon_1 = \epsilon_3 = -\epsilon_2 = -\epsilon_4 = \epsilon$

$$\frac{\Delta U_d}{U_s} = \frac{1}{4} (4 k \epsilon) = k \cdot \epsilon \quad (\text{Gl. 7})$$

Mit Gl. 7 in Gl. 4 erhält man:

$$M_b = \frac{\Delta U_d}{U_s} \cdot \frac{1}{k} \cdot E \cdot \frac{b h^2}{6} \quad \text{Gl. 8}$$

## Torsion

Berechnung des Torsionsmomentes aus der gemessenen Dehnung bzw. aus der gemessenen Brückenverstimmung

Die maximale Schubspannung  $\tau_t$  auf der Randfaser ergibt sich aus dem Torsionsmoment  $M_t$  und dem Widerstandsmoment  $W_t$  gegen Torsion

$$\tau_t = \frac{M_t}{W_t} \quad (\text{Gl. 9})$$

Für den zylindrischen Querschnitt ist das Widerstandsmoment  $W_t$  gleich dem polaren Widerstandsmoment  $W_p$ .

Für den Vollzylinder gilt:

$$W_t = \frac{\pi d^3}{16} = W_p \quad (\text{Gl. 10a})$$

Für den Hohlzylinder gilt:

$$W_t = \frac{\pi(d_a^4 - d_i^4)}{16 d_a} = W_p \quad (\text{Gl. 10b})$$

Mit dem Hooke'schen Gesetz

$$\tau = G \cdot \gamma \quad (\text{Gl. 11})$$

und Gl. 9 und Gl. 10B berechnet sich das Moment  $M_t$  aus der Scherung  $\gamma$

$$M_t = \gamma \cdot G \cdot W_p = \gamma \cdot G \cdot \frac{\pi(d_a^4 - d_i^4)}{16 d_a} \quad (\text{Gl. 12})$$

Mit dem Dehnungsmessstreifen lässt sich nur die Dehnung  $\epsilon$  erfassen, nicht die Scherung  $\gamma$ .

Der Zusammenhang zwischen Scherung und Dehnung unter einer Messrichtung von  $\alpha=45^\circ$  zur Längsachse gilt:

$$\epsilon_{45} = \gamma/2 \quad (\text{Gl. 13}) \quad (\text{vgl. Anhang, 2})$$

Der Schubmodul  $G$  lässt sich aus dem Elastizitätsmodul  $E$  und der Querkontraktionszahl  $\nu$  ableiten:

$$G = \frac{E}{2 \cdot (1 + \nu)} \quad (\text{Gl. 14})$$

Mit Gl. 13 und Gl. 14 in Gl. 12 ergibt sich der gesuchte Zusammenhang zwischen Dehnung und Torsionsmoment

$$M_t = 2 \cdot \epsilon_{45} \cdot \frac{E}{2 \cdot (1 + \nu)} \cdot \frac{\pi(d_a^4 - d_i^4)}{16 d_a} = \epsilon_{45} \cdot \frac{E}{(1 + \nu)} \cdot \frac{\pi(d_a^4 - d_i^4)}{16 d_a} = \frac{\Delta U_d}{U_s} \cdot \frac{1}{k} \cdot \frac{E}{(1 + \nu)} \cdot \frac{\pi(d_a^4 - d_i^4)}{16 d_a} \quad (\text{Gl. 15})$$

Durch Vergleich von Gl. 15 mit Gl. 11 und Gl. 12 und aus dem (Mohrschen Spannungskreis für den Spannungsfall der Torsion )findet man auch:

$$\tau = \frac{E}{1+\nu} \cdot \epsilon_{45} = \sigma_1 = -\sigma_2 \quad (\text{Gl 16})$$

## Anhang

### 1) Axiales und polares Flächenträgheitsmoment für den Kreisquerschnitt

Beim polaren Flächenträgheitsmoment geht die neutrale Faser durch einen ein Pol (ein Punkt im Zentrum des Kreisquerschnittes).

Beim axialen Flächenträgheitsmoment ist die neutrale Faser eine Achse (eine Achse im Zentrum des Kreisquerschnittes).

Für einen Kreisquerschnitt gilt:

Das polare Flächenträgheitsmoment gegen Torsion ist doppelt so groß wie das axiale Flächenträgheitsmoment gegen Biegung:

$$I_p = \int_A r^2 dA = \int_A (x^2 + y^2) dA = \int_A x^2 dA + \int_A y^2 dA = I_x + I_y$$

$$W_p = \frac{I_p}{(d/2)} = \frac{1}{2} W_b = \frac{1}{2} \frac{I_b}{(h/2)}$$

### 2) Zusammenhang zwischen Scherung und Dehnung

Quelle: Agne, Klaus: Technische Mechanik in der Feinwerktechnik. Aufgaben Beispiele Lösungen. Vieweg + Teubner verlag, Braunschweig, 1988.

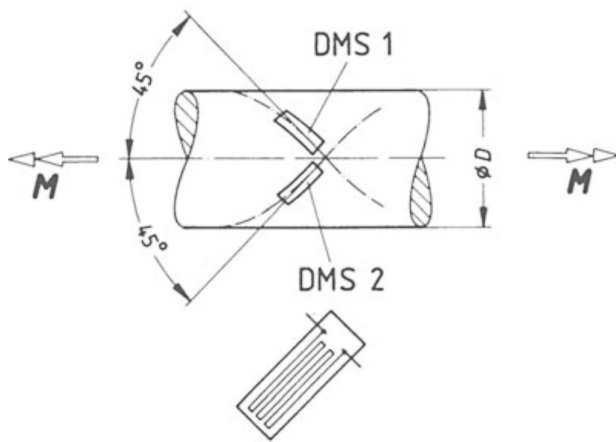


Abbildung 2: Torsionsmessung mit Dehnungsmessstreifen

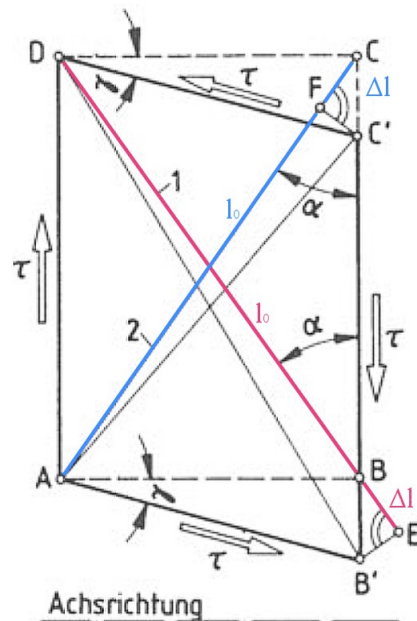


Abbildung 1: Zusammenhang zwischen Scherung  $\gamma$  und Dehnung  $\Delta l/l$  in der Messrichtung  $\alpha$

Die Kreisbögen B'E und C'F können für kleine Scherungen  $\gamma$  als Geraden angenommen werden. Für die Dehnungen  $\varepsilon_1$  und  $\varepsilon_2$  gilt:

$$\epsilon_1 = \frac{\overline{BE}}{\overline{BD}}; \epsilon_2 = \frac{-\overline{CF}}{\overline{AC}};$$

Mit  $\gamma \approx \tan \gamma = \overline{BB'}/\overline{AB} = \overline{CC'}/\overline{CD}$  werden  $\epsilon_1$  und  $\epsilon_2$ :

$$\epsilon_1 = \frac{\overline{BB'} \cos \alpha}{\overline{AB} / \sin \alpha} = \frac{\overline{BB'}}{\overline{AB}} \sin \alpha \cos \alpha = \gamma \frac{1}{2} \sin 2 \alpha$$

$$\epsilon_2 = \frac{\overline{CC'} \cos \alpha}{\overline{CD} / \sin \alpha} = \frac{\overline{CC'}}{\overline{CD}} \sin \alpha \cos \alpha = -\gamma \frac{1}{2} \sin 2 \alpha$$

Für  $\alpha = 45^\circ$  wird

$$\epsilon_1 = \gamma/2; \epsilon_2 = -\gamma/2;$$

### 3) Widerstandsmomente gegen Torsion für ausgewählte Querschnitte

Quelle [1]: Läßle, Volker: Lösungsbuch zur Einführung in die Festigkeitslehre. Vieweg und Teubner Verlag, Wiesbaden, 2007.

Durch Einsetzen der Widerstandsmomente  $W_t$  in Gl. 15 lässt sich das Torsionsmoment  $M_t$  aus der Dehnung bzw. Brückenverformung für nicht zylindrische Querschnitte berechnen.

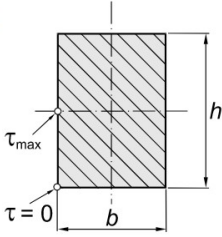
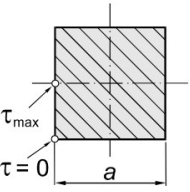
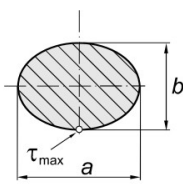
Profil	Torsionsflächenmoment $I_t$	Torsionswiderstandsmoment $W_t$
<b>Rechteck</b> 	$I_t = c_1 \cdot h \cdot b^3$ <p>mit</p> $c_1 = \frac{1}{3} \cdot \left( 1 - \frac{0,630}{h/b} + \frac{0,052}{(h/b)^5} \right)$	$W_t = \frac{c_1}{c_2} \cdot h \cdot b^2$ <p>und <math>c_2 = 1 - \frac{0,650}{1 + (h/b)^3}</math></p>
<b>Quadrat</b> 	$I_t = 0,141 \cdot a^4$	$W_t = 0,208 \cdot a^3$
<b>Ellipse</b> 	$I_t = \frac{\pi}{16} \cdot \frac{a^3 \cdot b^3}{a^2 + b^2}$	$W_t = \frac{\pi}{16} \cdot a \cdot b^2$

Abbildung 3: Widerstandsmomente  $W_t$  für Rechteck-Querschnitte und Ellipse, aus [1]

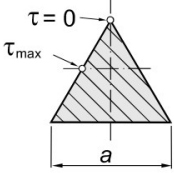
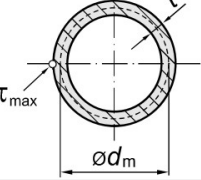
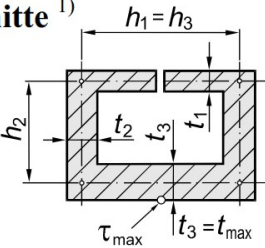
Profil	Torsionsflächenmoment $I_t$	Torsionswiderstandsmoment $W_t$
<b>Gleichseitiges Dreieck</b> 	$I_t = \frac{a^4}{46,2}$	$W_t = \frac{a^3}{20}$
<b>Dünnwandiges, geschlossenes Kreisrohr (<math>t = \text{konst.}</math>)</b> 	$I_t = \frac{\pi}{4} \cdot d_m^3 \cdot t$	$W_t = \frac{\pi}{2} \cdot d_m^2 \cdot t$
<b>Dünnwandige offene Hohlquerschnitte<sup>1)</sup></b> 	$I_t = \frac{1}{3} \cdot \sum_i h_i \cdot t_i^3$	$W_t = \frac{1}{3 \cdot t_{\max}} \cdot \sum_i h_i \cdot t_i^3$

Abbildung 4: Widerstandsmomente  $W_t$  für Dreieck-Querschnitte und dünnwandige, offene Hohlquerschnitte, aus [1]